

VIGILANCIA SINÓPTICA DE SUDAMÉRICA



INFORME
MARZO 2025

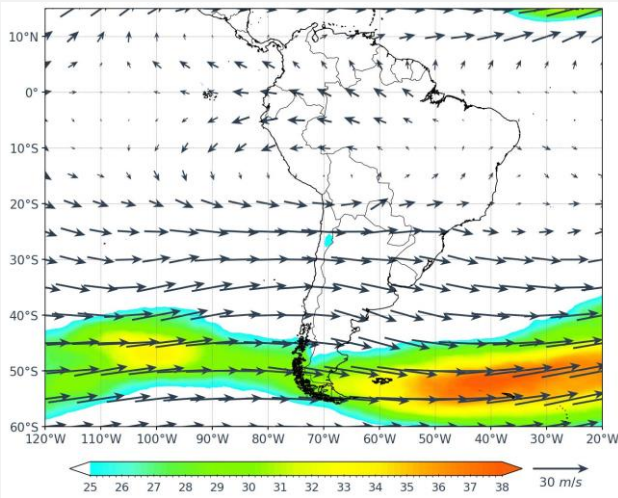


**PRÓXIMO INFORME
A ACTUALIZAR**
ABRIL 2025

ANÁLISIS MENSUAL

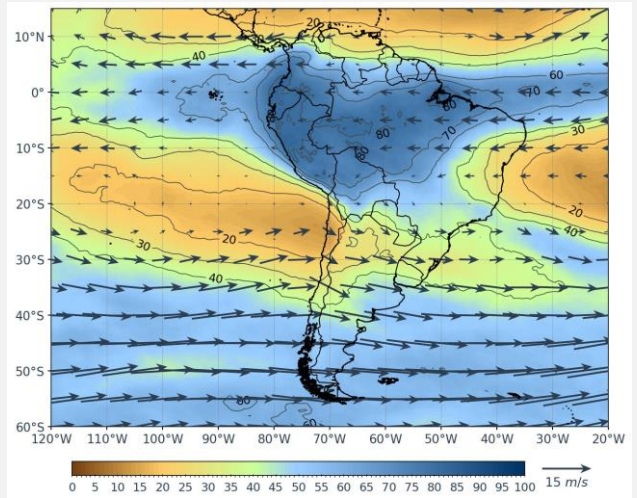
NIVELES ALTOS

Viento (m/s) – 250 hPa



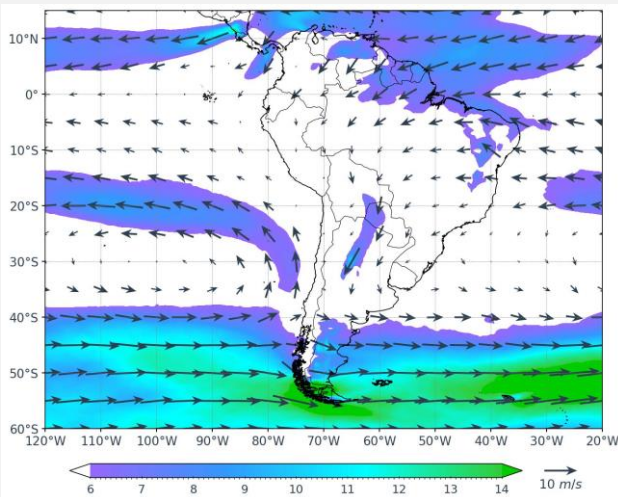
NIVELES MEDIOS

Viento (m/s) – 500 hPa/ Humedad (%)



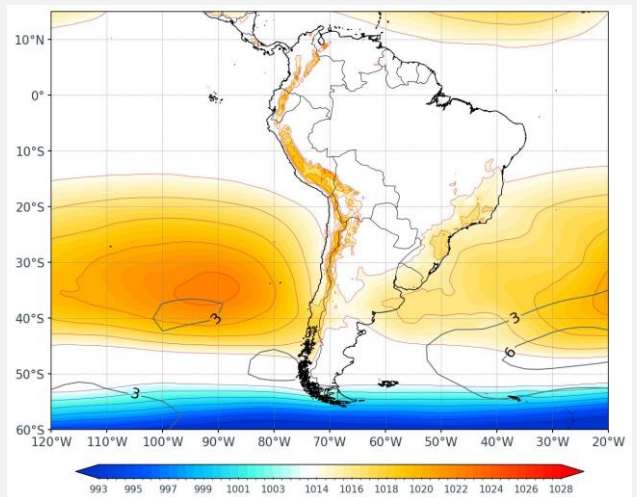
NIVELES BAJOS

Viento (m/s) – 850 hPa



SUPERFICIE

Presión reducida a nivel del mar (hPa)



Para el mes de marzo, en niveles altos, predominó la presencia de la Alta de Bolivia (AB) con núcleo sobre Bolivia (en los 15°S y 72°W aproximadamente) y con una configuración mayormente zonal, asociada a una débil Vaguada al Noreste de Brasil (VNB), aportando inestabilidad sobre Brasil, Venezuela, Colombia, Ecuador y Perú, principalmente. Asimismo, desde los 10°N hacia los 10°S predominaron vientos del este; a partir de los 20°S hacia el sur prevalecieron vientos del oeste con componente zonal dominante, asociado a un onda débil ubicada entre los 25°S a 55°S. Por otro lado, el Jet Subtropical (JS) se presentó acoplado con el ramal norte del Jet Polar (JP) principalmente desde los 55°W hacia longitudes menores, alcanzando una velocidad promedio máxima cercana a los 38 m/s.

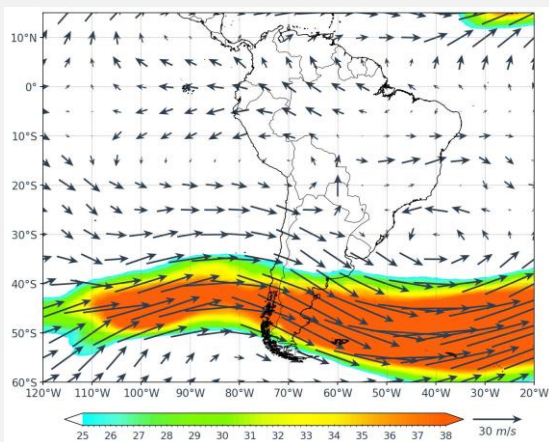
En niveles medios, predominaron flujos del oeste con componente zonal dominante desde los 25°S hacia latitudes mayores, asociados a una onda poco configurada (el cual se reflejó desde niveles altos) que presentó una vaguada de onda corta sobre el centro-norte de Chile y Argentina. También dominaron dos flujos anticiclónicos, uno configurado sobre el océano Pacífico (con núcleo no definido) y otro al este de Brasil (que se extendió desde el océano Atlántico). Estos sistemas favorecieron el ingreso de flujos del este con humedad cercana al 80% hacia el Perú, Brasil, Colombia y Ecuador; por otro lado, sobre gran parte del resto del continente propiciaron el ingreso de aire seco con valores por debajo del 50% de humedad, principalmente al este de Brasil, centro-norte de Chile y Argentina, Paraguay, Uruguay y países del extremo norte de Sudamérica.

En niveles bajos, a 850 hPa, predominaron flujos de componente este sobre el norte de Sudamérica aportando humedad proveniente del Atlántico sobre países del norte y centro de Sudamérica, asimismo, se presentó el incremento en la velocidad de viento sobre Bolivia, Paraguay y Argentina con valores cercanos a 11m/s, transportando condiciones de inestabilidad hacia esos sectores, reflejando la presencia del Jet de Bajos Niveles (JBN). En superficie, el Anticiclón del Pacífico Sur (APS) predominó con configuración zonal y núcleo en los 35°S y 192°W, desplazado ligeramente hacia el sur de su posición climática, con una intensidad de alrededor de los 1022 hPa (ligeramente más intenso respecto a su promedio); asimismo, el Anticiclón del Atlántico Sur (AAS), se presentó desplazado ligeramente al suroeste de su posición climática y con una intensidad débilmente superior a su promedio. Por otro lado, se reflejó el paso de altas migratorias (AM) durante el mes con el incremento de presión sobre Chile y Argentina.

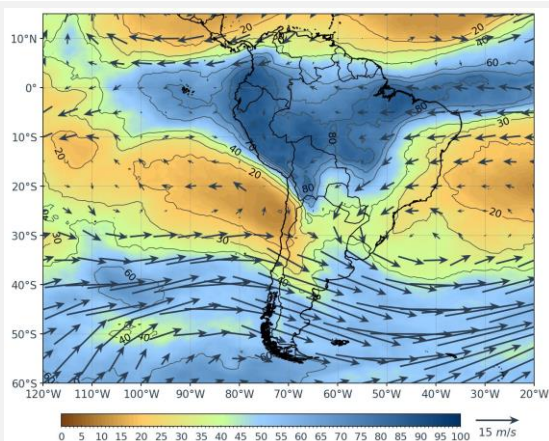
ANÁLISIS

Primera decadiaria

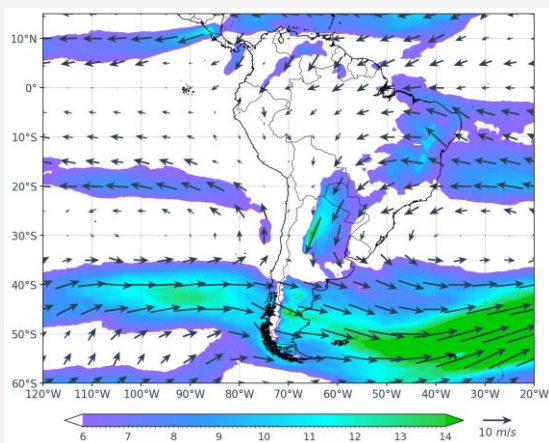
NIVELES ALTOS
Viento (m/s) – 250 hPa



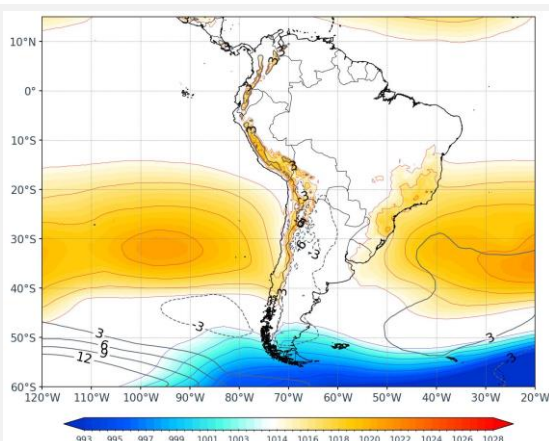
NIVELES MEDIOS
Viento (m/s) – 500 hPa/ Humedad (%)



NIVELES BAJOS
Viento (m/s) – 850 hPa



SUPERFICIE
Presión reducida a nivel del mar



En niveles altos, prevaleció la AB con una configuración zonal y núcleo sobre los 18°S y 72°W, la VNB no se presentó definida, influyendo principalmente sobre Perú, Brasil, Venezuela, Colombia y Ecuador (generando inestabilidad en esos sectores). Así también, predominaron flujos del oeste desde 20°S hacia latitudes mayores (con componente zonal dominante), influenciados por la presencia de una onda proveniente del oeste, que presentó una vaguada sobre el sur de Chile y Argentina (acentuando la inestabilidad). Por otro lado, el JS predominó acoplado al ramal norte del JP, desde los 50°W hacia longitudes menores, quien alcanzó velocidades promedio máximas cercanas a los 38 m/s.

En niveles medios, al norte de Sudamérica prevalecieron flujos de componente este que encajonaron la humedad (entre 60-80%) hacia Bolivia, Perú, Brasil, Ecuador y Colombia, principalmente; sin embargo, también transportaron aire seco hacia el extremo norte del continente. Asimismo, predominaron patrones de circulación antihoraria, una alrededor de los 22°S sobre el océano Pacífico y otra al este de Brasil (sobre el Atlántico), asociados al ingreso de aire seco (por debajo de los 50% de humedad) sobre el sureste de Brasil, Chile, Argentina, Uruguay, Paraguay y Venezuela. También, prevaleció una onda con una vaguada ubicada sobre el sur de Chile y Argentina, que se reflejó desde niveles altos, favoreciendo la inestabilidad en ese sector.

En superficie, el APS presentó una configuración zonal con núcleo en los 32°S y 95°W, con valores de presión alrededor de los 1020 hPa, similar respecto a lo climático y desplazado hacia el oeste. Asimismo, el AAS se mostró desplazado hacia el sur y con valores de presión por encima de su promedio. Por otro lado, no se reflejó significativamente el paso de altas migratorias (AM). En niveles bajos, predominaron flujos de componente este sobre el noreste de Sudamérica aportando humedad sobre el norte y centro del continente. Asimismo, se mostró la presencia del JBN sobre el norte de Argentina y Paraguay con velocidades cercanas a 13 m/s, transportando condiciones de inestabilidad y humedad hacia esos sectores.

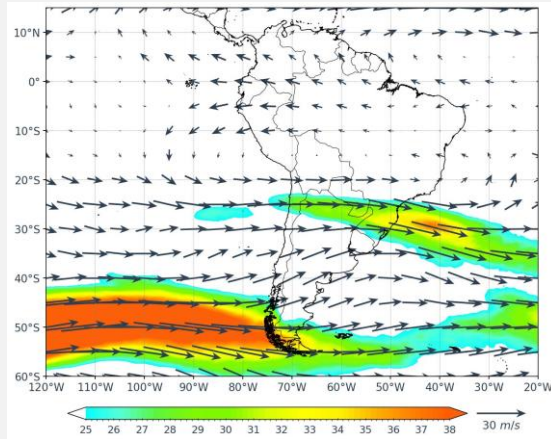
ANÁLISIS

Segunda decadiaria

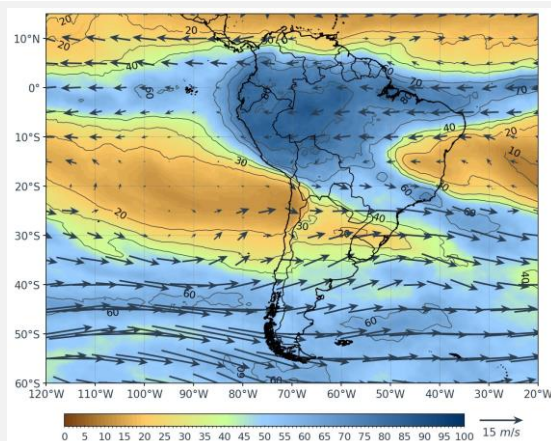
En niveles altos, se presentó una AB con configuración zonal y núcleo sobre los 15°S y 68°W aproximadamente, aportando inestabilidad principalmente sobre Perú, Brasil, Colombia y Ecuador. Además, prevalecieron flujos del oeste desde los 20°S hacia latitudes mayores (con componente zonal dominante), influenciados por la presencia de una onda, que presentó una vaguada sobre el sur de Brasil, Uruguay y Norte de Argentina (acentuando la inestabilidad). Por otro lado, el JS se presentó acoplado con el ramal norte del JP, presentando velocidades promedio máximas cercanas a los 38 m/s (desde los 120°W a 70°W).

En niveles medios, en parte del centro-norte de Sudamérica prevaleció el contenido de humedad alto (entre 60-80% de humedad) principalmente sobre Perú, Brasil, Bolivia, Ecuador y Colombia, debido a la prevalencia de flujos de componente este al norte de Sudamérica; sin embargo, al extremo norte del continente se presentó el ingreso de aire seco. También, predominaron flujos del oeste desde los 35°S hasta latitudes mayores, asociadas a una onda que presentó una vaguada sobre el norte de Argentina, Uruguay y sur de Brasil, donde acentuó la inestabilidad; asimismo, prevalecieron patrones de giro anticiclónico uno sobre el océano Pacífico (alrededor de los 20°S) y otro al este de Brasil (proveniente del Atlántico), estos factores favorecieron el ingreso de aire seco (menos del 50% de humedad) sobre el centro-norte de Chile y Argentina, Uruguay, y sur y este de Brasil.

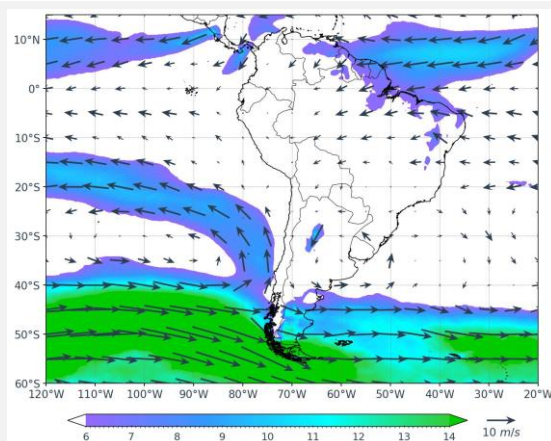
En superficie, el APS presentó una configuración cuasi meridional con núcleo en los 35°S y 88°W, con valores de presión superiores a los 1024 hPa, más intenso respecto al climático y desplazado hacia el sureste. Asimismo, el AAS predominó desplazado hacia el sur y con una intensidad superior del promedio. Por otro lado, se reflejó el paso significativo de altas migratorias (AM), que se reflejó por el incremento de presión sobre Argentina. En niveles bajos, predominaron flujos de origen este sobre el noreste de Sudamérica, los que se desplazaron sobre la amazonia aportando humedad sobre la región norte y centro del continente, además, se presentó el incremento de la velocidad del viento sobre el norte de Argentina con velocidades cercanas a 11 m/s, que favoreció al transporte de humedad y a la inestabilidad.



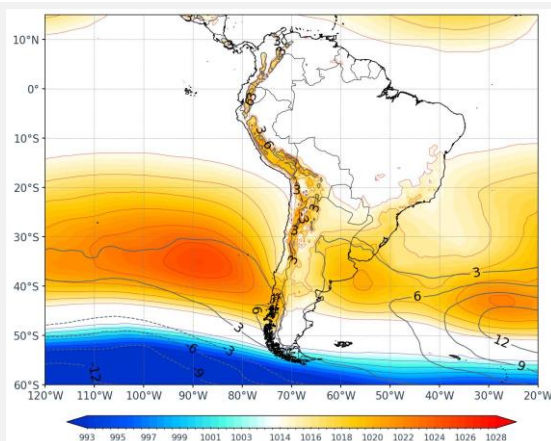
NIVELES ALTOS
Viento (m/s) – 250 hPa



NIVELES MEDIOS
Viento (m/s) – 500 hPa / Humedad (%)



NIVELES BAJOS
Viento (m/s) – 850 hPa

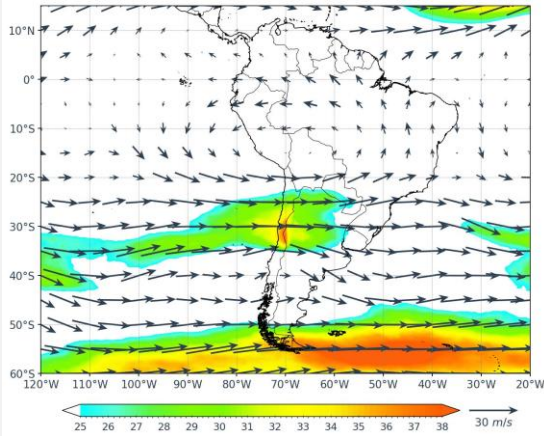


SUPERFICIE
Presión reducida a nivel del mar

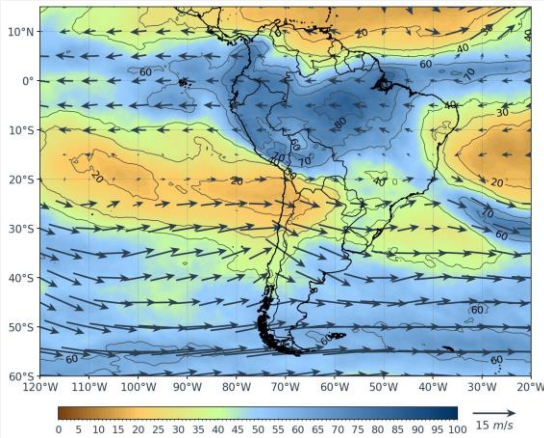
ANÁLISIS

Tercera decadiaria

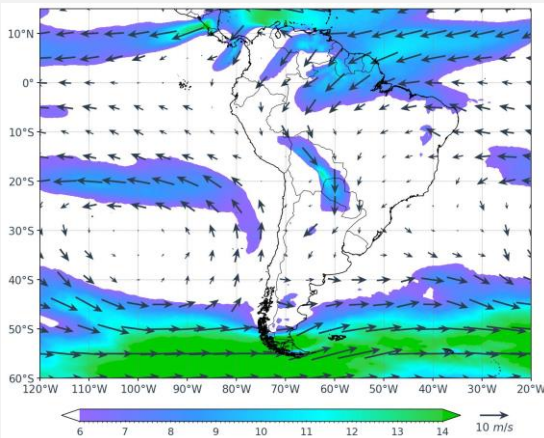
NIVELES ALTOS
Viento (m/s) – 250 hPa



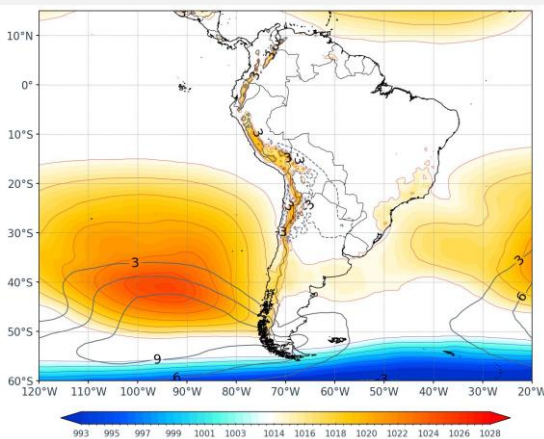
NIVELES MEDIOS
Viento (m/s) – 500 hPa/ Humedad (%)



NIVELES BAJOS
Viento (m/s) – 850 hPa



SUPERFICIE
Presión reducida a nivel del mar

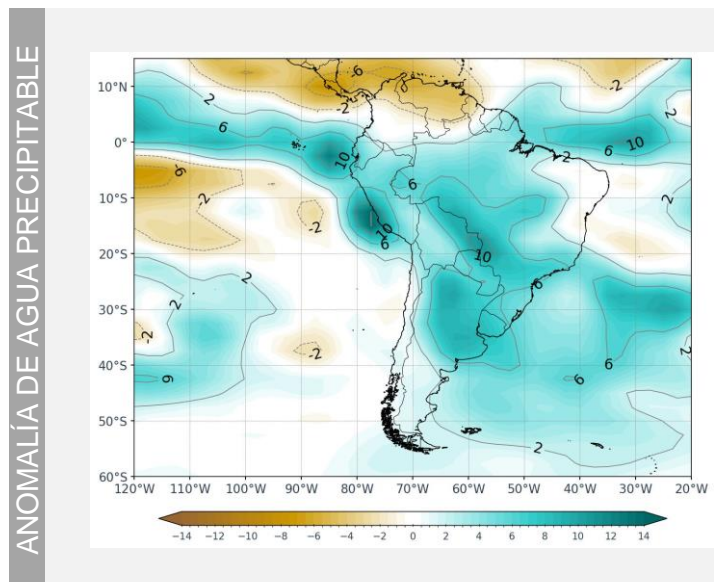
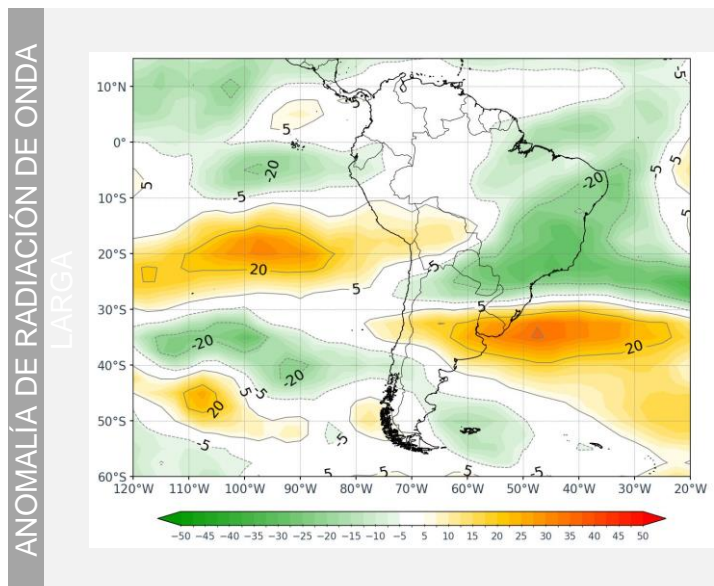


En niveles altos, la AB presentó una configuración cuasi meridional con núcleo en 15°S y 70°W y con, aportando inestabilidad principalmente sobre Perú, Brasil, Colombia y Ecuador, asociado a una débil VNB que presentó eje NO-SE. También, se tuvo el dominio de flujos del oeste, desde 20°S hacia latitudes mayores (con componente zonal dominante), asociado a una onda débil que presentó una vaguada sobre el centro de Chile y Argentina, acentuando las condiciones de inestabilidad sobre ese sector. Por otro lado, el JS no predominó acoplado al JP, y presentó velocidades promedio máximas cercanas a 38 m/s de forma puntual.

En niveles medios, al norte de Sudamérica prevalecieron flujos del este transportando humedad (entre 60-80% de humedad) principalmente hacia Perú, Bolivia, Brasil, Colombia y Ecuador; sin embargo, al extremo norte del continente se presentó el ingreso de aire seco. Así mismo, predominaron patrones de circulación anticiclónica, una sobre el pacífico (alrededor de los 20°S) y otra al este de Brasil (que se extendió desde el Atlántico); también se presentaron flujos dominantes del oeste desde los 25°S hacia latitudes mayores, asociados a una onda reflejada desde niveles altos, con una vaguada sobre el centro de Chile y Argentina, que acentuó la inestabilidad sobre esos sectores; estos patrones favorecieron el ingreso de aire seco (menor al 50% de humedad) sobre el centro-norte de Chile y Argentina, Paraguay, Uruguay y sureste de Brasil.

En superficie, el APS presentó una configuración meridional y núcleo en los 41°S y 95°W con valores de presión alrededor de los 1024 hPa, más intenso respecto al climático y desplazado hacia el suroeste. Por otro lado, el AAS predominó desplazado al suroeste de su posición climática y con una intensidad superior a su promedio. Asimismo, se reflejó el paso de altas migratorias (AM) con el incremento de presión sobre Argentina. En niveles bajos, predominaron flujos de origen este sobre el noreste de Sudamérica, aportando humedad sobre el norte-centro del continente, así también, se presentó un incremento de la velocidad del viento sobre Bolivia y Paraguay, alcanzando velocidades cercanas a 12m/s (reflejando la presencia del JBN) transportando condiciones de humedad e inestabilidad hacia esos sectores.

ANÁLISIS MENSUAL

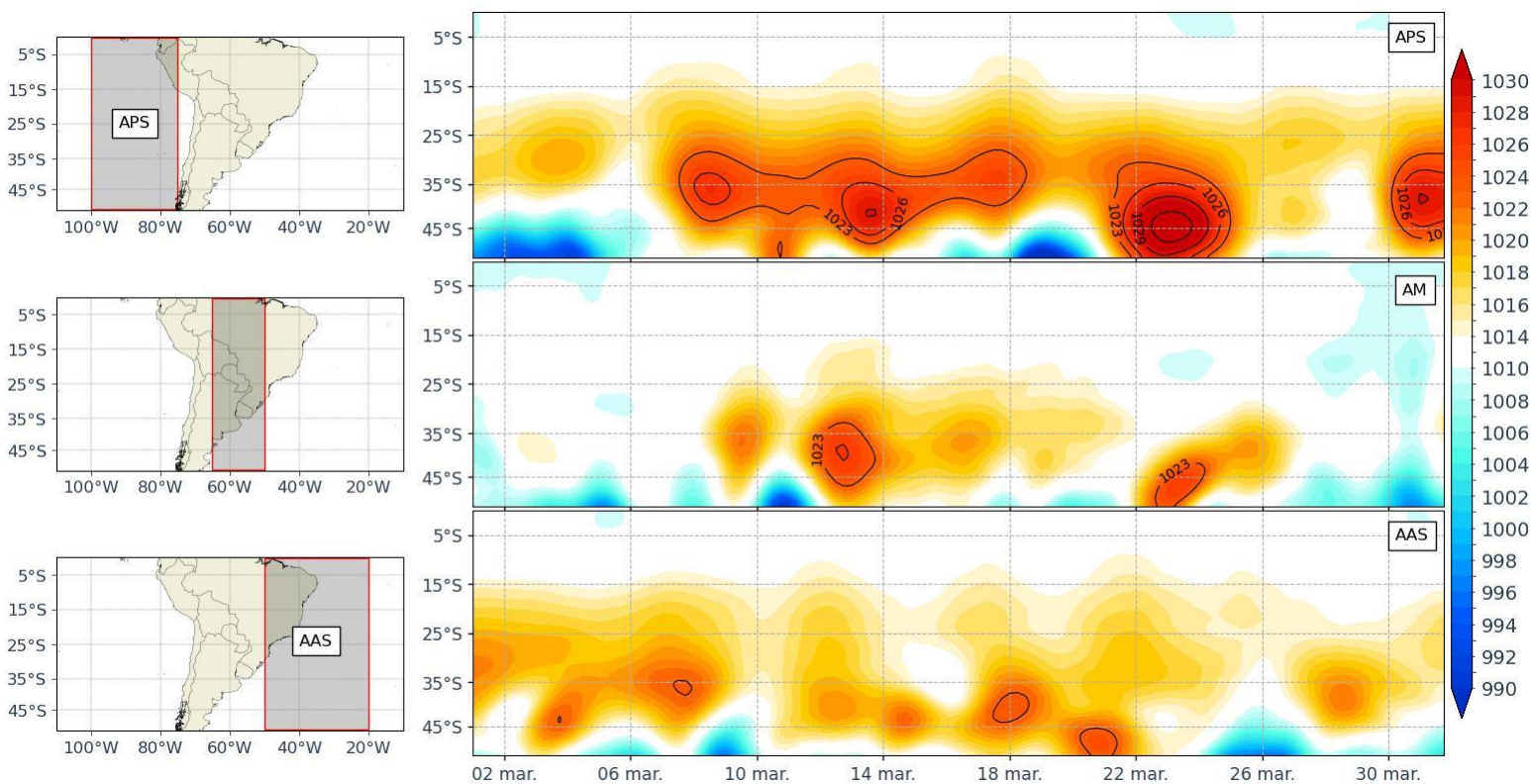


Respecto a las anomalías mensuales de radiación de onda larga, se apreciaron anomalías negativas sobre Brasil, Paraguay, Argentina, Chile, Ecuador y norte de Perú, esto asociado a la presencia de mayor nubosidad en respuesta al mayor contenido de humedad respecto a lo climático. Por otro lado, se apreciaron anomalías positivas en gran parte del centro del pacífico, el centro-sur de Perú, Bolivia, en el sur del atlántico, Uruguay y centro de Argentina, relacionadas a la ausencia de nubosidad en la zona, además, estas anomalías positivas podrían ser el reflejo de una disminución en las precipitaciones respecto a lo climático.

Las anomalías mensuales de agua precipitable reflejaron anomalías positivas en gran parte del área del área de análisis, especialmente sobre Ecuador, Perú, Chile, Argentina, Paraguay, Uruguay, Brasil, Bolivia, y en gran parte del pacífico y el atlántico, los cuales estuvieron asociados a un incremento de la misma respecto a su climatología, lo que pudo haberse reflejado con mayor nubosidad y probables precipitaciones. Por otro lado, las anomalías negativas abarcaron principalmente Colombia, Venezuela y demás países del extremo norte de Sudamérica, indicando la poca actividad convectiva y disminución de agua precipitable respecto a su climatología (relacionado a zonas con más sequedad de lo usual).

ANÁLISIS TEMPORAL

Presión reducida al nivel del mar



Durante el mes de febrero, el APS superó los 1023 hPa durante gran parte del mes, especialmente en la segunda y tercera decadiaria (llegando a presentar incluso valores por encima de los 1029 hPa cerca del 23 de marzo), para el resto del periodo se tuvieron valores bajos de presión (sección APS). Por otro lado, el AAS llegó a superar los 1023 hPa de forma puntual cerca del 6 y 20 de marzo, el resto del mes presentó valores por debajo y de manera más marcada cerca de fin de mes (sección AAS). Respecto a las altas migratorias (AM), se presentó una intensificación marcada hacia el 12 y 23 de marzo con valores por encima de los 1023 hPa, lo cual estuvo asociado a la presencia del primer al cuarto friaje del año en la selva peruana.

Director de Meteorología y Evaluación

Ambiental Atmosférica

Julio Ernesto Urbiola del Carpio

jurbiola@senamhi.gob.pe

Subdirector de Predicción Meteorológica

Piero Rivas Quispe

privas@senamhi.gob.pe

Elaboración y redacción:

o Bremilda Sutizal Sánchez

bsutizal@senamhi.gob.pe

Para mayor información sobre los avisos meteorológicos, visite este link :

<http://www.senamhi.gob.pe/avisos>

Próxima publicación: MAYO 2025



Servicio Nacional de
Meteorología e Hidrología del
Perú - SENAMHI

Jr. Cahuide 785, Jesús María

Lima - Perú



Central telefónica: 614-1414

Unidad Funcional de Atención al
Ciudadano:

470-2867

Pronóstico: 614-1407 o 265-8798

(Atención las 24 horas vía WhastApp)

Consultas y sugerencias:

pronosticador@senamhi.gob.pe